

合成方法에 의한 E-平面型 帶域通過 濾波器의 精密設計에 관한 研究

(A Study on the Accurate Design of E-Plane Type Bandpass Filters Based on the Synthesis Procedures)

林 在 凤*, 李 忠 雄**

(Jae Bong Lim and Choong Woong Lee)

要 約

合成方法에 의한 E-平面型 帶域通過 濾波器의 設計時に 問題되는 通過帶域幅 逸脱 現象을 解決하기 위
해, 通過帶域 補正因子를 導入하여 設計하는 方法을 提示하고 CAD 프로그램을 開發하였다.

컴퓨터 시뮬레이션 결과는 항상 정확한 여파기를 설계할 수 있음을 보였고, X-band에서 Unilateral
Fin-line 濾波器와 Bilateral Fin-Line 濾波器를 製作하여 實驗과 理論이 一致함을 보였다.

Abstract

In this paper, we propose an accurate design method of E-plane type filters using the synthesis procedures and the passband correction factor. This correction factor is obtained from the actual insertion losses of the pre-designed filter at band edge frequencies. For this study a CAD program has been developed. In this program, the Fin-line structures are analyzed by the variational analysis routines. Unilateral Fin-line filters and bilateral Fin-line filters are fabricated in the X-band. Experimental results show excellent agreement with the theory.

I. 序 論

E-平面型 帶域通過 濾波器는 損失이 작고, 정확한 構造解析方法에 의한 精密設計가 가능하여 製作後에 微細調整이 필요없기 때문에 마이크로波 및 밀리미터波 帶域에서 많이 研究되고 있다.^[1-7]

E-平面型 濾波器를 設計할 때, 構造의 電氣的 特性을 정확하게 얻기 위해서는 導波管內에 存在하는 高次 모드의 갯수를 약 20~30項 정도를 取해야 하므로 構造解析에 計算時間이 많이 所要되고, 따라서 컴퓨터 CPU

시간을 절감하려는 노력이 계속되고 있다. 設計時間を 절감할 수 있는 方案으로써 첫째, CPU시간이 적게 所要되는 構造解析法의 선택, 둘째로는 CPU 시간을 줄일 수 있는 設計方法의 선택이 있다. E-平面型 構造解析의 代表의 方法으로는 變分法에 의한 解析方法과^[1-3] Generalized Scattering Matrix法에 의한 解析方法이^[4-7] 많이 사용된다. 前者는 모든 演算이 純實數로 수행되고, 行列의 크기가 작고, 演算이 간단하여 後者에 비해 컴퓨터의 所要 메모리가 작으며 計算時間이 훨씬 짧아진다.^[2]

E-平面型 帶域通過 濾波器의 設計에는 最適化 技法에 의한 設計방법과^[4,5] 合成理論에 의한 設計方法이^[1-3,6,7] 있다. 最適化 技法에 의한 方法은 合成방법에 비해 計算時間이 월등히 많이 요구되기 때문에 最近에는 合成方法이 주로 이용되고 있다. 그러나 合成

*正會員, 國民大學校 電子工學科

(Dept. of Elec. Eng., Kook-Min Univ.)

**正會員, 서울大學校 電子工學科

(Dept. of Elec. Eng., Seoul National Univ.)

接受日字 : 1986年 2月 10日

方法에 의해 E-平面型 濾波器를 設計할 때에는 最適化 技法을 利用한 때와는 달리, 實際 濾波器의 特性이 像測值에 비해 通過帶域幅이 數~數拾% 程度 좁아지는 帶域幅 逸脫 (bandwidth deviation) 現象이 발생하기 때문에^[6] 設計結果에 대한 確信을 가질 수가 없다. 通過帶域幅 逸脫 現象이 發生되는 原因은 合成方法이 本來 近似化된 것으로서, 임피던스 K-인버터의 周波數에 따른 特性變化를 正確히 像測하지 못한데에 있다.

本研究에서는 上記 問題點을 解決하기 위해, 임피던스 K-인버터의 特性임피던스의 周波數에 따른 變化特性을 補償해줄 수 있는 補正因子를 導入하여, 合成方法에 의해 E-平面型 帶域通過 濾波器를 신속, 정확하게 設計할 수 있는 通過帶域 補正法 (通過帶域幅 補正 및 中心周波數 移動 補正)을 提示하고, CAD 프로그램 CADEPSYN을 開發했다. CADEPSYN에서, E-平面型 構造解析法으로서 變分解析法을^{[1]-[3]} 사용하고, 合成方法은 廣帶域 濾波器에도 사용할 수 있는 分布定數 半波長 低域通過 原型 濾波器에 대해 Rhodes가^[8] 誘導한 公式을 基礎로 하였다.

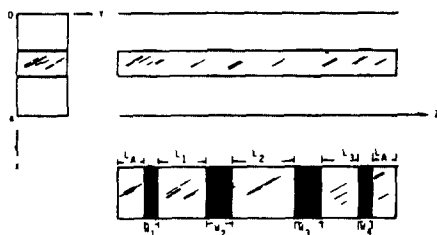


그림 1. E-平面型 帶域通過 濾波器의 構造
Fig. 1. E-plane type bandpass filter structure.

II. E-平面型 帶域通過 濾波器의 等價回路

E-平面型 濾波器의 種類에는 金屬板 E-平面 濾波器, Unilateral Fin-line 濾波器, Bilateral Fin-line 濾波器 및 Insulated Fin-line 濾波器가 있다. 그림 2는 Bilateral Fin-line 濾波器와 Unilateral Fin-line 濾波器를 구성하는 基本構造와 等價回路를 나타내고 있으며, 이 그림에서 誘電体 슬랩의 두께 t 가 0이 될 때에는 금속판 E-평면 構造가 된다.

그림 2에서 領域(I)은 空氣로 채워진 導波管으로서 主 모드 (Dominant mode)는 TE_{10} 모드가 되고, 領域(II)는 誘電体가 부분적으로 채워진 導波管으로서 主-모드는 Distorted TE_{10} 모드가 된다. (금속판 E-평면 구조에서는 영역(II)가 공기만으로 채워진 경우에 해당되므로 主-모드는 영역(I)가 마찬가지로 TE_{10} 모드가 된다.) 導波管內에서 主-모드만 傳播되고, 모

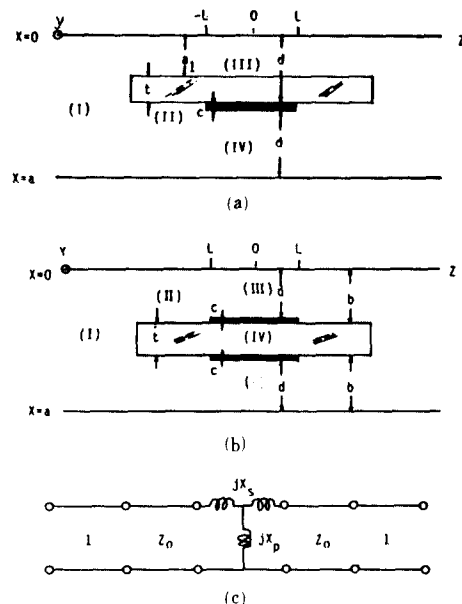


그림 2. (a) Unilateral Fin-line 濾波器의 基本構造
(b) Bilateral Fin-line 濾波器의 基本構造
(c) 基本構造에 대한 等價回路

Fig. 2. (a) Basic structure of Unilateral Fin-line filter.
(b) Basic structure of Bilateral Fin-line filter.
(c) Equivalent circuit of the basic structure (normalized to the wave-impedance of TE_{10} mode).

는 高次-모드는 減殺된다고 가정하고 誘電体 및 導體에 의한 손실은 무시한다. 또 TE_{10} 모드의 傳播常數를 Γ_1 , Distorted TE_{10} 모드의 傳播常數를 γ_1 이라 하자. 그림 2(a)~(b)의 構造를 TE_{10} 모드의 波動임피던스에 대하여 正規化하여 等價回路를 표시하면 그림 2-(c)가 된다. 이때 傳送線路의 特性임피던스 Z_0 는 Collin의 모델을^[9] 이용하면 다음과 같다.

$$Z_0 = \frac{\Gamma_1}{\gamma_1} \quad (1)$$

한편 等價回路의 素子값 Z_0 , X_s 및 X_p 는 變分法에 의한 E-平面型 構造解析方法에 의해 구한다. 그림 3과 그림 4는 Bilateral Fin-line 구조에 대해 등가회로 소자값을 구한 例를 보여준다.

그림 1에 표시된 E-平面型 濾波器의 전체 等價回路는 그림 2(c)를 이용하여 그림 6(a)로 표시된다. 그림 5에서와 같이 T-회로 양단에 一定길이의 傳送線路를 연결하면 임피던스 K-인버터로 動作하므로 그림 6(a)의 등가회로는 K-인버터를 이용해서 그림 6(b)로 바꿀 수

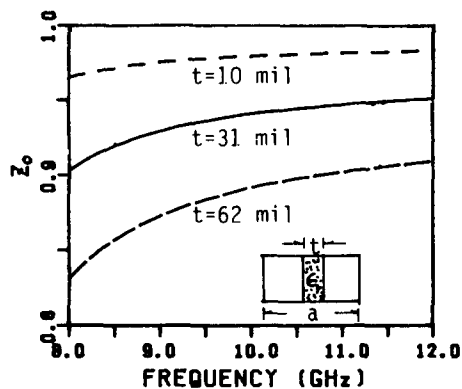


그림 3. 誘電體 슬랩에 부분적으로 채워진導波管의 正規화 임피던스

Fig. 3. Normalized impedance of dielectric slab loaded waveguide

(a) 900 mil, $\epsilon_r = 2.065$, 30-term approximation.

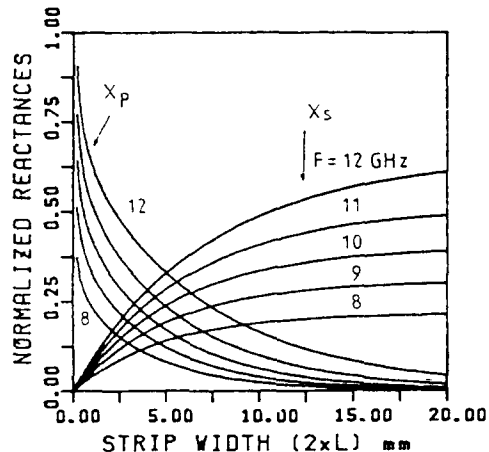


그림 4. Bilateral Fin-line 構造에 대한 T-等價回路의 正規화 리액턴스

Fig. 4. Normalized reactances of T-equivalent circuit for bilateral Fin-line structure
($a = 900 \text{ mil}$, $T = 31 \text{ mil}$, $c = 0.5 \text{ mil}$, $\epsilon_r = 2.065$, 30-term approx.).

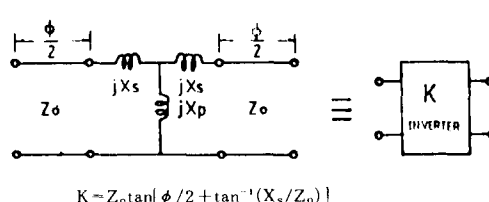


그림 5. 임피던스 K-inverter
Fig. 5. Impedance K-inverter.

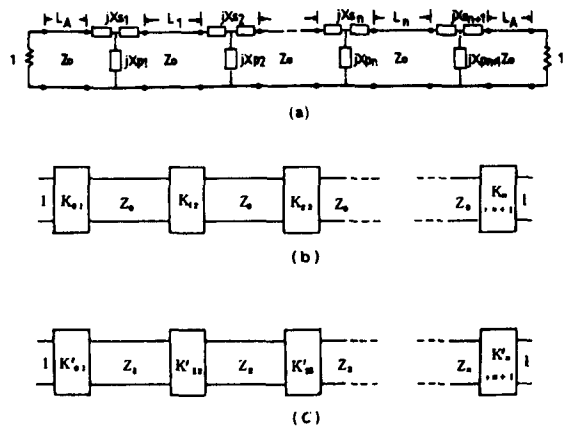


그림 6. (a) E-平面型 帶域通過 濾波器의 等價回路

(b) K-인버터를 써서 표시한 E-平面型 帶域通過 濾波器의 等價回路

(c) 理想的 K-인버터를 써서 표시한 分布定數 半波長 低域通過 原型 濾波器

Fig. 6. (a) Equivalent circuit of E-plane type band bandpass filter

(b) Equivalent circuit of E-plane type bandpass filter with K-inverter.

(c) Distributed half-wave lowpass prototype filter with ideal K-inverter.

있다.

한편 그림 6(c)는 理想的 K-인버터를 이용해서 표시한 分布定數 半波長 低域通過 原型 濾波器로써, 그림 6(b)의 전송선로의 임피던스 값과 서로 다른 값을 갖고 있으므로 $K'_{r,r+1}$ 와 $K'_{r,n+1}$ 사이에는 임피던스 스케일링에 의하여 다음과 같은 관계가 성립한다.

$$K_{r,r+1} = \frac{Z_0}{\sqrt{Z_r Z_{r+1}}} K'_{r,r+1} \quad \text{for } r=1, 2, \dots, n-1 \quad (2)$$

$$K_{0,1} = \sqrt{\frac{Z_0}{Z_1}} K'_{0,1}$$

$$K_{n,n+1} = \sqrt{\frac{Z_0}{Z_n}} K'_{n,n+1}$$

III. 設計 過程

설계하려는 濾波器의 設計條件 즉, 濾波器의 種類 및 칫수, 通過帶域 리플 L_{ar} (dB), 遞斷 周波數 f_1 및 f_2 , 阻止帶域 f_s 에서의 最小 삽입손실 L_s (dB)가 주어지면, E-平面型 帶域通過 濾波器는 일종의 Direct Coupled Cavity 濾波器이므로 다음과 같이 Levy의^[10]結果를 이용하여 設計할 수 있다.

Levy는 導波管型 Direct Coupled Cavity 濾波器의 경우에 K-인버터의 特性임피던스 $K(f)$ 가 주파수에 따라 대략 다음과 같은 식과 같이 변화함을 밝히고

$$K(f) = K(f_0) \frac{\lambda_{g0}}{\lambda_g} \quad (3)$$

Chebyshev 特性을 갖는 帶域通過 濾波器의 삽입손실 예측치가 다음식으로 표현될 수 있음을 보였다.

$$L = 10 \log \{1 + \epsilon^2 T_n^2 \left(\alpha \frac{\lambda_g}{\lambda_{g0}} \sin \left(\frac{\pi \lambda_{g0}}{\lambda_g} \right) \right)\} \quad (4)$$

여기서 T_n 는 n次 Chebyshev 多項式으로써 다음과 같이 정의된다.

$$T_n(x) = \begin{cases} \cosh(n \cosh^{-1} x), & |x| > 1 \\ \cos(n \cos^{-1} x), & |x| \leq 1 \end{cases} \quad (5)$$

$$\epsilon = \sqrt{10^{0.12 \alpha} - 1} \quad (6)$$

λ_{g1} 과 λ_{g2} 는 각각 遮斷周波數 f_1 과 f_2 에서의 TE_{10} 모드의 管內波長이고, λ_{g0} 는 中心周波數 f_0 에서의 管內波長으로써 λ_{g0} 와 α 는 다음 式에서 구할 수 있다.

$$\alpha \frac{\lambda_{g1}}{\lambda_{g0}} \sin \frac{\pi \lambda_{g0}}{\lambda_{g1}} = 1 \quad (7)$$

$$\alpha \frac{\lambda_{g2}}{\lambda_{g0}} \sin \frac{\pi \lambda_{g0}}{\lambda_{g2}} = -1 \quad (8)$$

위의 두 식을 합하면,

$$\frac{\lambda_{g1}}{\lambda_{g0}} \sin \frac{\pi \lambda_{g0}}{\lambda_{g1}} + \frac{\lambda_{g2}}{\lambda_{g0}} \sin \frac{\pi \lambda_{g0}}{\lambda_{g2}} = 0 \quad (9)$$

이 되므로, 이 式에서 λ_{g0} 를 결정한 후, (7)식 또는 (8)식에서 α 를 결정할 수 있다. 한편 그림6(c)의 原型濾波器의 삽입손실 예측치가 (4)식과 같이 Chebyshev 特性을 가질 때, 이 여파기의 소자값 Z_r 과 $K'_{r,r+1}$ 는 다음과 같은 Rhodes의 公式^[8]에서 결정된다.

$$Z_r = \frac{2 \alpha \sin \left[\frac{(2r-1)\pi}{2n} \right]}{\tau} - \frac{1}{4 \tau \alpha} + \left\{ \frac{\left[\tau^2 + \sin^2 \left(\frac{r\pi}{n} \right) \right]}{\sin \left[\frac{(2r+1)\pi}{2n} \right]} + \frac{\left[\tau^2 + \sin^2 \left(\frac{(r-1)\pi}{n} \right) \right]}{\sin \left[\frac{(2r-3)\pi}{2n} \right]} \right\} \quad (10)$$

$$\text{for } r = 1, 2, \dots, n$$

$$Z_0 = Z_{n+1} = 1$$

$$K'_{r,r+1} = \frac{\sqrt{\tau^2 + \sin^2 \left(\frac{r\pi}{n} \right)}}{\tau} \quad \text{for } r = 0, 2, \dots, n \quad (11)$$

$$\tau = \sinh \left(\frac{1}{n} \sinh^{-1} \frac{1}{\epsilon} \right) \quad (12)$$

濾波器의 設計過程을 要約하면 다음과 같다.

1) 數值 解析法(Regula-Falsi 알고리즘)을 利用하여 (9)식을 만족시키는 λ_{g0} 및 f_0 를 구한다.

2) (7)식 또는 (8)식에서 α 를 결정한다.

3) 阻止帶域 f_s 에서의 最小 插入損失 L_s 를 얻을 수 있는 濾波器의 段數 n 을 다음 식에서 求한다.

$$L_s \leq 10 \log \{1 + \epsilon^2 T_n^2 \left(\alpha \frac{\lambda_{g0}}{\lambda_{g0}} \sin \frac{\pi \lambda_{g0}}{\lambda_{g0}} \right)\} \quad (13)$$

4) (10)~(12)식에 의해 原型濾波器의 素子値 Z_r 및 $K'_{r,r+1}$ 를 결정한다.

5) (2)식에 의해 그림6(b)의 實際濾波器의 K -인 버터의 特性임파င스 $K_{r,r+1}$ 을 결정한다.

6) 그림5에 표시된 식에 의해, $K_{r,r+1}$ 을 만족하는 Fin-line幅 W와 傳送線路의 電氣角 $\phi_{r,r+1}$ 을 결정한다.

7) j 번째 共振器의 길이 L_j 를 다음식에 의해 구한다.

$$L_j = \frac{\lambda_{g0}}{2\pi} \left[\pi + \frac{\phi_{j-1,j} + \phi_{j,j+1}}{2} \right] \quad (14)$$

여기서 λ_{g0}' 는 Distorted TE_{10} 모드의 중심 주파수 f_0 에서의 管內波長으로써

$$\lambda_{g0}' = \lambda_{g0} \cdot \frac{\gamma_1}{T_1} \quad (15)$$

8) 그림6(a)에서 導波管兩端의 誘電體 슬립의 길이 L_A 를 다음식에서 구한다.^[2,3]

$$L_A = \frac{\lambda_{g0}}{2\pi} \left(\pi + \frac{\phi_{0,1}}{2} \right) \quad (16)$$

以上의 過程에 의해 設計된濾波器의 實際 插入損失特性은 그림7에서 보는 바와 같이 일반적으로 通過帶域幅이 예측치에 비해 좁아진다.^[6] 本論文에서는 다음 절에서 誘導한 通過帶域 補正因子에 의하여 다음의 設計過程을 추가하여 정화한 特性을 갖는濾波器를 設計할 수 있도록 한다.

9) 앞의 設計過程에 의해 設計된濾波器에 대해, 차단주파수 f_1 과 f_2 에서의 삽입손실 특성을 變分法에 의해 구한다.

10) (26)식에 의해 중심주파수 f_0 와 管內波長 λ_{g0} 를 다시 결정한다(中心周波數 移動 補正)

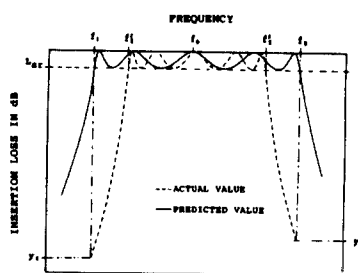


그림7. 예측치에서 벗어난 실제 삽입손실태성

Fig. 7. Actual insertion losses deviated from the predicted value.

11) 다음節 (22)식의 通過帶域幅 補正因子 Δ_0 를 利用하여 Rhodes의 公式^[8]에서 α 를 $\alpha\Delta_0$ 로 치환한 후, 設計過程 4)~8)을 한번 反復하여 最終 濾波器를 設計한다(通過帶域幅 補正)

IV. 通過帶域 補正方法의 誘導

合成方法에 의한 設計는 場解析에 의해 Fin-line 構造의 等價回路를 中心周波數에서만 구하므로, 素子의 파라미터값의 周波數에 따른 變化特性에 관한 정보를 알 방법이 없고, 따라서 K-인버터의 特性임피던스의 주파수에 따른 變化관계를^[8,10] (3)식을 이용하고 있다. 결과적으로 설계된 여과기의 삽입손실 특성은 (4)식으로 표시되는 예측치에서 벗어나, 通過帶域幅은 일반적으로 수~수십% 까지 줄어지고 中心周波數도 약간 移動한다.

合成方法에 의해 濾波器를 정확히 설계하기 위해서는 결국 K-인버터의 주파수 變化特牲에 관한 정확한 정보가 요구된다. 그러나 실제로 있어, 이 정보는 周波數와 濾波器의 모든 칫수의 함수로써 解析的인 式으로 表現한다는 것은 거의 불가능하다.

이 절에서는 設計된 濾波器의 實際 삽입손실을 遮斷周波數 f_1 및 f_2 에서만 컴퓨터 시뮬레이션에 의해 구하여, 이것으로 부터 K-인버터의 實제적인 주파수 變化 특牲에 관한 정보(補正因子 Δ)를 얻어내고, 또 이 補正因子를 利用하여 Rhodes의 公式을 약간 수정함으로써 濾波器의 通過帶域 特牲을 정확하게 設計할 수 있는 通過帶域 補正方法을 제시한다.

그림 7에 표시된 것처럼, 設計過程 1)~8)에서 設計된 濾波器의 實際 遮斷周波數을 f_1 및 f_2 , 遮斷周波數 f_1 과 f_2 에서의 實際 插入損失을 각각 y_1 및 y_2 (dB)라 하자. 設計된 濾波器의 實際 K-인버터의 特性임피던스 $K(f)$ 가 (17)식과 같이 周波數에 따라 變化한다고 생각할 수 있고, 이때 여과기의 實際삽입손실 예측치는 (18)식으로 표시할 수 있다.

$$K(f) = K(f_0) \frac{\lambda_{g0}}{\lambda_g} \Delta \quad (17)$$

$$L = 10 \log \left[1 + \epsilon^2 T_n^2 \left| \frac{\alpha}{\Delta} \frac{\lambda_g}{\lambda_{g0}} \sin \left(\frac{\pi \lambda_{g0}}{\lambda_g} \right) \right| \right] \quad (18)$$

여기에서 λ_{g0} 와 f_0 는 設計過程 1)에서 결정된 값이다. 遮斷周波數 f_1 및 f_2 에서 (18)식은 (7)식과 (8)식을 대입하면,

$$10 \log \left[1 + \epsilon^2 T_n^2 \left| \frac{1}{\Delta} \right| \right] = \begin{cases} y_1 & \text{at } f_1 \\ y_2 & \text{at } f_2 \end{cases} \quad (19)$$

이 되고, f_1 및 f_2 에서의 Δ 를 각각 Δ_1 및 Δ_2 라고 하여 구하면,

$$\Delta_i = \begin{cases} 1/\cosh[1/n \cdot \cosh^{-1}(c_i)], & |C_i| > 1 \\ 1/\cos[1/n \cdot \cos^{-1}(c_i)], & |C_i| \leq 1 \end{cases} \quad (20)$$

$$c_i = \sqrt{\frac{10^{a12}-1}{10^{a11ar}-1}} \quad \text{for } i=1, 2 \quad (21)$$

이 된다. 이제 통과대역 f_1 ~ f_2 에서의 通過帶域幅 補正因子를 Δ_0 라 하고,

$$\Delta_0 = \frac{\Delta_1 + \Delta_2}{2} \quad (22)$$

로 정의한다. 通過帶域 근방에서 (18)식은 근사적으로 다음과으로 표현할 수 있다.

$$L = 10 \log_{10} \left[1 + \epsilon^2 T_n^2 \left| \frac{\alpha}{\Delta_0} \frac{\lambda_g}{\lambda_{g0}} \sin \left(\frac{\pi \lambda_{g0}}{\lambda_g} \right) \right| \right] \quad (23)$$

(23)식에서 α 대신에 $\alpha\Delta_0$ 로 대입하면 (23)식은 당초에 설계하려던 예측치인 (4)식이 됨을 알 수 있다. 이 사실은 Rhodes의 公式에서 α 대신에 $\alpha\Delta_0$ 로 치환하여 줌으로써 정확한 통과대역 特牲을 갖는 濾波器를 設計할 수 있음을(通過帶域幅補正)을 암시한다. 한편 通過帶域幅 補正만을 했을 경우에 通過帶域幅은 맞출 수 있지만 中心周波數가 약간 移動한 상태로 남아있게 된다. (18)식은 通過帶域幅 補正後에 다음 式으로 바뀌어 진다.

$$L = 10 \log \left[1 + \epsilon^2 T_n^2 \left| \frac{\alpha \Delta_0}{\Delta} \frac{\lambda_g}{\lambda_{g0}} \sin \left(\frac{\pi \lambda_{g0}}{\lambda_g} \right) \right| \right] \quad (24)$$

여기서 λ_{g0} 는 設計過程 1)에서 구한 값이므로 遮斷周波數 f_1 과 f_2 에서 (7)과 (8)식에 의하여

$$10 \log \left[1 + \epsilon^2 T_n^2 \left| \frac{\Delta_0}{\Delta_i} \right| \right] = L_{ar} \quad (25)$$

이 된다. 따라서 f_1 과 f_2 에서의 삽입손실이 정확히 L_{ar} (dB)가 되기 위해서는 다음 식이 만족되도록 λ_{g0} 를 다시 결정해야 한다(中心周波數 補正).

$$\frac{1}{\Delta_1} \frac{\lambda_{g1}}{\lambda_{g0}} \sin \left(\frac{\pi \lambda_{g0}}{\lambda_{g1}} \right) + \frac{1}{\Delta_2} \frac{\lambda_{g2}}{\lambda_{g0}} \sin \left(\frac{\pi \lambda_{g0}}{\lambda_{g2}} \right) = 0 \quad (26)$$

컴퓨터 시뮬레이션 결과에 의하면, (26)式으로 定義된 通過帶域幅 補正因子 Δ_0 는 항상 다음과 같은 관계가 성립한다.

$$\Delta_0 = \frac{\Delta_1 + \Delta_2}{2} \approx \frac{f_2 - f_1}{f_2 + f_1} = \frac{\text{실제대역폭}}{\text{설계대역폭}} \quad (27)$$

결국 Δ_0 는 物理的으로 帶域幅 逸脱의 程度를 나타내고 있다.

V. 設計 및 實驗結果

前記한 理論과 變分法에 의한 Fin-line 構造 解析方法을 채택하여 E-平面型 帶域通過 濾波器를 設計하는 CAD Program CADEPSYN을 開發하였다. 표1과 2는 각각 CADEPSYN에 의해 설계한 Unilateral Fin-line 濾波器와 Bilateral Fin-line 濾波器의 設計資料

표 1. 通過帶域 補正法을 利用하여 再設計한 Unilateral Fin-line 濾波器의 設計資料

Table 1. Design data of Unilateral Fin-line bandpass filter redesigned using the passband correction method, 0.2dB 3-section Chebyshev characteristics, $a = 900\text{mil}$, $a_1 = 435\text{mil}$, $c = 0.0\text{mil}$, $t = 15\text{mil}$, $\epsilon_r = 2.065$ (CuFlon), 30 term approximation.

unit:mm

No.	Passband $f_1 \sim f_2$ (GHz)	Correction	f_0 (GHz)	PRACTICAL INSERTION LOSS (dB)		Δ_0	L_A	$W_1 = W_4$	$L_1 = L_3$	$W_2 = W_3$	L_2
				at f_1	at f_2						
1	11.95	B. C	11.9997	6.67	3.92	0.7068	11.125	12.982	7.644	31.547	7.594
2	~ 12.05		11.9970	0.20	0.19		11.150	11.443	7.671	28.396	7.603
3	10.95	B. C	10.9996	1.71	0.99	0.8628	13.362	9.297	10.171	22.524	10.149
4	~ 11.05		10.9982	0.20	0.20		13.369	8.809	10.178	21.533	10.153
5	10.45	B. C	10.4995	0.95	0.58	0.9110	14.691	8.001	11.597	19.701	11.590
6	~ 10.55		10.4985	0.20	0.20		14.695	7.722	11.600	19.136	11.593
7	10.35	B. C	10.4958	0.97	0.40	0.9221	14.708	4.784	11.615	13.029	11.604
8	~ 10.65		10.4904	0.19	0.20		14.723	4.547	11.631	12.528	11.621
9	10.25	B. C	10.4883	0.86	0.32	0.9346	14.723	3.358	11.634	9.927	11.631
10	~ 10.75		10.4785	0.18	0.19		14.748	3.169	11.661	9.498	11.662

*B. C: Before Correction

A. C: After Correction

표 2. 通過帶域 補正法을 이용하여 再設計한 Bilateral Fin-line 濾波器 設計資料

Table 1. Design data of Bilateral Fin-line bandpass filter redesigned using the passband correction method. 0.2dB 3-section Chebyshev characteristics, $a = 900\text{mil}$, $c = 0.5\text{mil}$, $t = 31\text{mil}$, $\epsilon_r = 2.065$ (CuFlon), 30 term approximation.

unit:mm

No.	Passband $f_1 \sim f_2$ (GHz)	Correction	f_0 (GHz)	PRACTICAL INSERTION LOSS (dB)		Δ_0	L_A	$W_1 = W_4$	$L_1 = L_3$	$W_2 = W_3$	L_2
				at f_1	at f_2						
1	11.95	B. C	11.9997	3.38	1.93	0.7949	11.516	9.634	8.784	25.097	8.742
2	~ 12.05		11.9977	0.20	0.20		11.530	8.792	8.799	23.377	8.747
3	10.95	B. C	10.9996	0.95	0.56	0.9119	13.591	7.002	11.060	18.875	11.038
4	~ 11.05		10.9985	0.21	0.21		13.595	6.729	11.064	18.329	11.041
5	10.45	B. C	10.4995	0.55	0.35	0.9497	14.840	5.965	12.382	16.669	12.374
6	~ 10.55		10.4987	0.20	0.20		14.843	5.824	12.385	16.382	12.376
7	10.35	B. C	10.4958	0.56	0.25	0.9591	14.856	3.082	12.400	10.607	12.388
8	~ 10.65		10.4917	0.19	0.19		14.867	2.973	12.411	10.369	12.400
9	10.25	B. C	10.4883	0.47	0.20	0.9717	14.865	1.835	12.413	7.789	12.415
10	~ 10.75		10.4814	0.19	0.19		14.881	1.764	12.430	7.620	12.435

*B. C: Before Correction

A. C: After Correction

로써 通過帶域 補正 前과 後의 結果를 함께 나타내었다.

표 1의 1번 濾波器는 Rhodes의 方法에 따라 設計한 濾波器로써, 通過帶域幅은 설계치의 70% 정도였으며, 遮斷周波數 f_1 과 f_2 에서의 삽입손실이 각각 6.67 (dB) 및 3.92(dB)로써 설계치인 0.20(dB)에서 상당

히 벗어났다. 2번 여파기는 通過帶域 補正法을 적용하여 再設計한 것으로써 차단주파수에서의 삽입손실이 0.20dB와 0.19dB로써 정확하게 補正되었으며, 이때 帶域幅 補正因子 $\Delta_0 = 0.7068$, 中心周波數 補正에 의한 中心周波數 移動은 낮은쪽으로 2.7MHz였다. 그림 8은 표 2의 1, 2번 여파기의 삽입손실 特성을 컴퓨터

터 시뮬레이션에 의하여 通過帶域 근방에서 구한 결과를 예시한 것으로서, 本研究에서 提示한 補正方法에 의해 設計된 여파기의 特성이 통과대역 근방에서 (4)식의 예측치와 일치하고 있음을 보여준다. 그림 9와 10은 각각 Unilateral Fin-line 여파기(표 1의 9번과 10번)과 Bilateral Fin-line 濾波器(표 2의 5번과 6번)의 通過帶域 補正 前과 後의 插入損失 特性을 理論과 實驗에 의해 比較한 것으로써, 理論值과 實驗值가 一致하였다. 여파기의 삽입손실 特성은 HP8757A scalar network analyzer를 사용하여 측정했다.

CADEPSYN에 의해 30-項近似化를 取해 3段濾波器를 設計했을 때에 所要되는 CPU時間은 MV/8000 시스템으로, Unilateral Fin-line의 경우에는 約 15分, Bilateral Fin-line의 경우에는 약 3分이 걸렸다.

VI. 檢 評

通過帶域 補正 前에 設計된 濾波器의 帶域幅 逸脱은

1) 設計 帶域幅이 狹帶域일 수록, 中心周波數가 높을 수록 심하다.

2) Unilateral Fin-line 濾波器와 금속판 E-平面濾波器의 경우에는 導體板 두께 C를 두껍게 함으로써, Bilateral Fin-line의 경우에는 도체판 두께 C와 誘電體 슬랩의 두께 t를 두껍게 함으로써 감소시킬 수 있다.

3) 그러나 Unilateral Fin-line 여파기는 誘電體基板을 사용하므로 銅板두께 C의 조정에 의한 帶域幅逸脱의 개선은 기대하기 어려우며, 금속판 E-평면 여파기의 경우에는 표 4에서 알 수 있는 것처럼 도체판

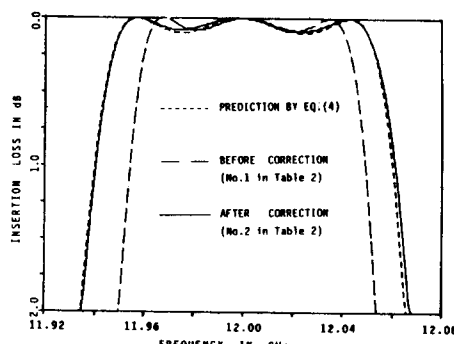


그림 8. 補正前과 後의 濾波器의 삽입손실 시뮬레이션 결과

Fig. 8. Simulated insertion losses of the designed filters before correction and after correction.

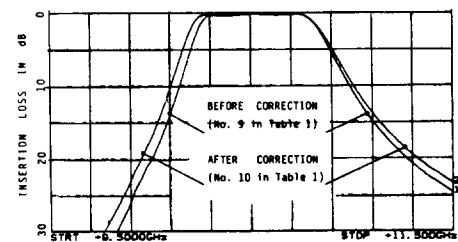
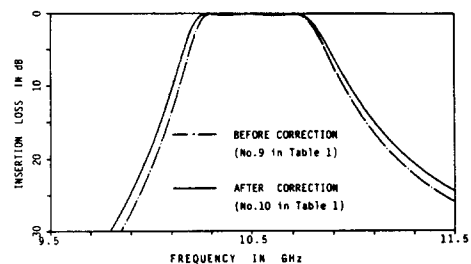


그림 9. (a) Unilateral Fin-line 여파기의 삽입손실 이론치
(b) Unilateral Fin-line 여파기의 삽입손실 측정치

Fig. 9. (a) Simulated insertion losses of Unilateral Fin-line filters.
(b) Measured insertion losses of Unilateral Fin-line filters.

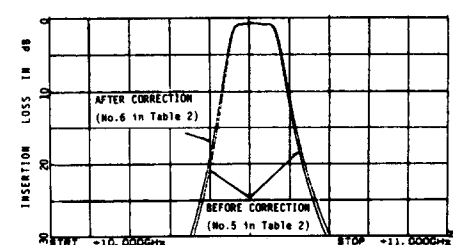
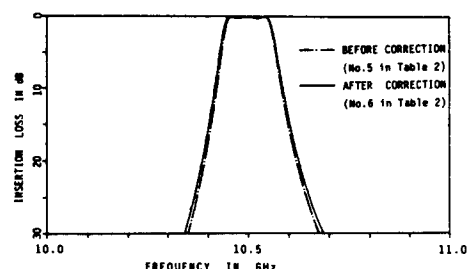


그림 10. (a) Bilateral Fin-line 여파기의 삽입손실 이론치
(b) Bilateral Fin-line 여파기의 삽입손실 측정치

Fig. 10. (a) Simulated insertion losses of Bilateral Fin-line filters.
(b) Measured insertion losses of Bilateral Fin-line filters.

표 3. 誘電體 슬랩 두께 변화에 따른 Bilateral Fin-line 濾波器의 帶域幅 逸脱

Table 3. Bandwidth deviation of Bilateral Fin-line filters vs. dielectric slab thickness.

0.2dB 3-section Chebyshev characteristics, passband; 11.95–12.05 GHz

 $a = 900\text{mil}$, $c = 0.5\text{mil}$, $\epsilon_r = 2.065$, 30-term Approximation.

unit:mm

No.	t (mil)	Correction	f_0 (GHz)	Practical insertion loss (dB)		Δ_0	L_A	$W_1=W_4$	$L_1=L_4$	$W_2=W_3$	L_2
				at f_1	at f_2						
1	5	B. C	11.9997	6.49	3.91	0.7094	11.520	12.408	8.189	30.187	8.144
2		A. C	11.9971	0.20	0.19		11.543	10.945	8.214	27.196	8.152
3	10	B. C	11.9997	5.82	3.48	0.7254	11.518	11.876	8.309	29.145	8.266
4		A. C	11.9973	0.19	0.19		11.539	10.551	8.331	26.428	8.273
5	20	B. C	11.9997	4.60	2.69	0.7574	11.493	10.873	8.494	27.222	8.452
6		A. C	11.9975	0.20	0.19		11.510	9.792	8.512	25.013	8.458
7	31	B. C	11.9997	3.38	1.93	0.7949	11.516	9.634	8.784	25.097	8.742
8		A. C	11.9977	0.20	0.20		11.530	8.792	8.779	23.377	8.747
9	62	B. C	11.9997	1.46	0.81	0.8782	11.431	7.073	9.234	20.561	9.188
10		A. C	11.9982	0.20	0.20		11.440	6.666	9.244	19.720	9.191
11	125	B. C	11.9997	0.30	0.17	0.9928	10.980	4.104	9.361	14.720	9.303
12		A. C	11.9988	0.20	0.20		10.982	4.087	9.363	14.682	9.304

*B. C: Before Correction

A. C: After Correction

표 4. 導體板 두께 변화에 따른 金屬板 E-平面 濾波器의 帶域幅 逸脱

Table 4. Bandwidth deviation of ALL-Metal E-plane filters vs. Conductor thickness

0.2dB 3-section Chebyshev characteristics, passband; 11.95–12.05 GHz

 $a = 900\text{mil}$, $t = 0$ in Fig. 2(b), 30-term Approximation.

unit:mm

No.	Conductor thickness (2C) mil	Correction	f_0 (GHz)	Practical insertion loss (dB)		Δ_0	$W_1=W_4$	$L_1=L_4$	$W_2=W_3$	L_2
				at f_1	at f_2					
1	1	B. C	11.9997	7.25	4.42	0.6920	13.074	7.973	31.410	7.927
2		A. C	11.9970	0.19	0.19		11.458	8.001	28.091	7.935
3	10	B. C	11.9997	6.19	3.75	0.7160	12.029	8.498	29.338	8.456
4		A. C	11.9972	0.19	0.19		10.639	8.521	26.495	8.464
5	100	B. C	11.9997	1.56	0.99	0.8675	5.880	11.279	17.262	11.270
6		A. C	11.9985	0.20	0.20		5.493	11.282	16.469	11.273
7	200	B. C	11.9997	0.57	0.42	0.9424	2.189	12.909	10.295	12.934
8		A. C	11.9991	0.20	0.20		2.082	12.909	10.056	12.935

*B. C: Before Correction

A. C: After Correction.

두께(2C)를 조절하여 어느 정도까지는 개선할 수 있지만, 도체판 두께를 지나치게 두껍게 할 경우, 프레스나 애칭에 의해 정확한 패턴의 재작이 어렵다. 한편 Bilateral Fin-line 여파기의 경우에는 誘電體 기판을 사용하기 때문에 C의 조절에 의한 帶域幅 逸脱改善은 어렵지만, 誘電體 슬랩의 두께 t 를 두껍게 하므로써(표3), 개선이 가능하다.

E-平面型 濾波器의 損失은 誘電體 손실이 작은 재료를 사용하면 주로 銅損에 의해 결정되므로^[11] 損失을 줄이기 위해서는 전체 fin-line 幅 W 의 합이 작아져도록 하는 것이 유리하다. 표 3과 4에서 보면,同一特性의 여파기를 설계할 때, 동판두께(금속판 E-평면 여파기)나 誘電體 슬랩의 두께(Bilateral fin-line 여파기)를 두껍게 해줌으로써, fin-line幅을 감소시킬 수

있고, 그 결과 여파기의 損失을 감소시킬 수 있다.

이러한 관점에서 보면, Unilateral fin-line 構造는 금속판 E-평면 구조나 Bilateral fin-line 구조에 비해 構造的으로 損失이 많다고 볼 수 있다.

濾波器 特性이 廣帶域이 될수록, fin-line 幅이 좁아 진다. “어파기의 最大 設計可能 帶域幅을 얼마까지 할 수 있느냐?”의 문제는 결국 에칭 가능한 fin-line의 最小幅(약 0.1mm)에 의해서 결정되므로, 금속판 E-평면 여파기나 Bilateral fin-line 여파기의 경우에는 最大 帶域幅을 얻기 위해서는 동판두께 C나 유전체 슬랩의 두께 t를 얇게해야 한다.

이상의 사실을 종합하면, Unilateral fin-line 여파기의 경우는 中間帶域幅(moderate bandwidth) 이상 廣帶域 設計에 適合하고, Bilateral fin-line이나 금속판 E-평면 여파기는 유전체 슬랩 두께나 동판두께를 적절히 선택함으로써 狹帶域에서 廣帶域 전반에 걸쳐 사용할 수 있다.

“어떤 構造와 칫수를 선정하여 여파기를 설계할 것인가?”는 製作의 容易性, 加工技術, 低損失性, 帶域幅 및 既存의 工程등을 종합적으로 고려하여 선정되어야 한다.

VII. 結論

最適化 技法에 의한 E-平面型 帶域通過 濾波器의 設計는 정확성은 있으나 계산시간이 많이 소요되며, 특히 初期值 設定에 어려움이 많다. 반면에 合成方法에 의한 設計는 계산시간은 짧지만 通過帶域幅 逸脫 現像이 발생하여 設計結果에 대한 確信을 가질 수 없었다.

本 研究에서는 이러한 問題點을 解決하기 위해, 通過帶域 補正에 의한 E-平面型 帶域通過 濾波器의 合成設計法을 提示하였다. 이 方法은 事前 設計된 濾波器의 遮斷周波數에서의 實際 插入損失 特性에서 帶域幅補正因子 Δ_0 를 얻고, 간단한 中心周波數 補正을 한 후에 Rhodes의 設計公式^[8]에서 a 를 $a\Delta_0$ 로 치환해서 設計함으로써 신속, 정확한 여파기 설계를 가능케 한다. 이 방법에 따라 開發된 CAD 프로그램 CADEPSYN에 의한 시뮬레이션 결과는 항상 正確한 結果를 보였으며, X-Band에서 Unilateral Fin-line 濾波器와 Bilateral Fin-line 濾波器를 設計하여 實驗한 結果, 理論과 實驗이 一致하였다. CADEPSYN은 單純히 合成方法을 사용한 경우보다 약 3배가량의 시간이 소요되나, 항상 정확한 설계가 가능하며, 最適化 技法을 利用한 경우보다는 훨씬 빠른 방법으로써, 본 연구에서 제시한 방법은 E-平面型 濾波器 뿐만 아니라 다른 direct coupled cavity型 濾波器의 設計에도 適用될 수 있다.

參考文獻

- [1] Y. Konishi and K. Uenakada, “The design of a bandpass filter with inductive strip-planar circuit mounted in waveguide,” *IEEE Trans., Microwave Theory and Tech.*, vol. MTT-22, pp. 869-873, Oct. 1974.
- [2] 林在鳳, 李忠雄, “變分法에 依한 마이크로波 E-平面 濾波器와 Unilateral Fin-line 濾波器의 解析 및 CAD設計,” 대전전자공학회지, 제22권 제6호, pp. 63-70, 11월 1985.
- [3] 林在鳳, 李忠雄, “變分法에 依한 Bilateral Fin-line 構造의 解析에 關한 研究,” 대전전자공학회지, 제23권 제1호, pp. 20-26, 1월 1986.
- [4] Y.C. Shih, T. Itoh, and L. Bui, “Computer-Aided Design of millimeter-wave E-Plane filters,” *IEEE Trans. Microwave Theory and Tech.*, vol. MTT-31, no. 2, pp. 135-141, Feb. 1983.
- [5] F. Arndt, J. Bornemann, D. Grauerholz, and R. Vahldeick, “Theory and design of low insertion loss Fin-line filters,” *IEEE Trans. Microwave Theory and Tech.*, vol. MTT-30, no. 2, pp. 155-162, Feb. 1982.
- [6] Y.C. Shih, “Design of Waveguide E-Plane Filters with All-Metal Inserts,” *IEEE Trans. Microwave Theory and Tech.*, vol. MTT-32, no. 7, pp. 695-704, July, 1984.
- [7] L. Bui, D. Ball, and T. Itoh, “Broad-band millimeter-wave E-Plane bandpass filters,” *IEEE Trans. Microwave Theory and Tech.*, vol. MTT-32, no. 12, pp. 1655-1658, Dec. 1984.
- [8] J.D. Rhodes, “Microwave Circuit Realizations,” in *Microwave Solid State Devices and Applications*, pp. 49-57, D.V. Morgan and M.J. Howes (eds), England, Peregrinus 1980.
- [9] R.E. Collin, “Field Theory of Guided Wave,” MGH, New York, p. 247, 1960.
- [10] R. Levy, “Theory of Direct-Coupled-Cavity filters,” *IEEE Trans. Microwave theory and Tech.*, vol. MTT-15, no. 6, pp. 340-347, June 1967.
- [11] 林在鳳, “Unilateral Fin-line 여파기의 설계,” 국립대학교 생산기술연구소, 工學論叢, 제7집 pp. 267-279, 1984년. *